

# Oscillatori Virtuali Caotici: Sintesi del segnale digitale mediante l'uso di sistemi caotici

Luca Spanedda

March 10, 2022

## Abstract

I segnali caotici nella sintesi digitale possono essere utili per implementare oscillatori e/o segnali di controllo tempo-varianti. Un problema dei sintetizzatori digitali e degli effetti audio, è che sono spesso caratterizzati da suoni molto lontani da quelli prodotti nel mondo fisico, a causa della natura precisa e tempo-invariante della loro generazione del segnale nel mondo digitale.

Nel computer, i dettagli che in natura nel suono si verificano normalmente in modo imprevedibile, devono essere accuratamente sequenziati fino al punto di esaurimento delle risorse del computer e del programmatore.

Adottare segnali caotici nella sintesi e nel controllo, può essere dunque un modo per produrre suoni più naturali di quelli generati attraverso le tecniche più standard di sintesi digitale, con metodi computazionali più economici.

In questo studio andremo ad implementare dei circuiti nel linguaggio di programmazione Faust (GRAME) per rappresentare discretamente alcuni modelli caotici, ed alcuni stocastici, che possano essere utili nella generazione di texture sonore di sintesi. Estrapoleremo da questi codici alcune topologie per rappresentare i circuiti corrispondenti alle equazioni differenziali implementate, ed andremo ad utilizzare il linguaggio di programmazione Python per ottenere alcuni plot che rappresentino il comportamento di questi modelli.

## I. Introduzione alla teoria del caos

«Può il battito delle ali di una farfalla in Brasile  
scatenare un tornado in Texas ?»

(Lorenz all'American Association for the Advancement of Sciences, 1979)

La teoria del caos postula che esista una classe di fenomeni naturali che possano essere modellati da sistemi deterministici non lineari.

Quando si parla di caos ci si riferisce ad un certo tipo di comportamento di un sistema dinamico: determinato dalla sensibilità alle condizioni iniziali, imprevedibilità a lungo termine, orbite periodiche dense. In altri termini un sistema caotico amplifica le piccole differenze: porta i fenomeni microscopici a un livello macroscopico. E' dunque nell'amplificazione di queste piccole deviazioni delle condizioni iniziali che si annida il caso.

Nonostante siano perfettamente individuate le equazioni differenziali che descrivono questi sistemi: al variare delle condizioni iniziali varia il comportamento del sistema stesso negli stadi successivi a quello iniziale.

L'ipotesi che sistemi deterministici possano sviluppare comportamenti imprevedibili fu teorizzata per la prima volta dal matematico francese Henri Poincaré già nello studio del problema dei tre corpi (1890).

Tuttavia la nascita vera e propria di questa teoria scientifica si verifica però nel 1963, quando Edward Norton Lorenz pubblica il suo articolo Deterministic Non-periodic Flow, nel quale tratta del comportamento caotico in un sistema semplice e deterministico, con la formazione di un attrattore strano introducendo il medesimo concetto.

I sistemi caotici, proprio come quelli stocastici, appartengono alla classe dei sistemi dinamici e dei sistemi complessi. Solo che mentre nei sistemi caotici i comportamenti sono deterministici ed è possibile prevedere il risultato se si conoscono le condizioni iniziali del sistema ed il suo comportamento; dunque a parità delle condizioni iniziali il risultato è prevedibile.

Nei modelli stocastici il comportamento dipende da delle probabilità, che possono essere calcolate tramite il calcolo delle probabilità. Non è possibile dunque determinare a parità delle condizioni iniziali il proprio comportamento.

## II. Sistemi Dinamici e Complessi

Un sistema dinamico è un modello matematico che rappresenta un oggetto (sistema), con un numero finito di gradi di libertà che evolve nel tempo secondo una legge deterministica;

Mentre per sistema complesso si intende un sistema dinamico a multicomponenti, ovvero composto da diversi sottosistemi che tipicamente interagiscono tra loro.

Tipicamente un sistema dinamico viene rappresentato analiticamente da un'equazione differenziale, espressa poi in vari formalismi, e identificato da un vettore nello spazio delle fasi: lo spazio degli stati del sistema, dove "stato" è un termine che indica l'insieme delle grandezze fisiche, dette variabili di stato, i cui valori effettivi "descrivono" il sistema in un certo istante temporale.

Si possono identificare due tipologie di sistema dinamico:

- Dinamico Discreto
- Dinamico Continuo

In questi modelli: un sistema è Dinamico Discreto se l'evoluzione avviene ad intervalli discreti di tempo, e Dinamico Continuo se l'evoluzione è continua e definita da un'equazione differenziale.

Ci sono sistemi che non variano col passare del tempo, mentre da altri ci si aspetta un effettivo cambiamento, e sono detti rispettivamente:

- Sistemi tempo-invarianti.
- Sistemi tempo-varianti.

### III. Non Linearità

Ciò che accomuna un sistema complesso ad un sistema caotico è la non linearità. In questa visione di complessità i sistemi caotici sono considerati un sottoinsieme dei sistemi complessi: la complessità si manifesta infatti sulla soglia della caoticità. Mentre nel mondo fisico la non-linearità è insita alla natura delle cose, nel mondo digitale, queste non-linearità devono essere accuratamente programmate ed introdotte all'interno degli algoritmi, per raggiungere la complessità. Di pro, si può ottenere con un certo controllo il comportamento inverso: si può arrivare a dei comportamenti Lineari a partire da modelli complessi. Ad esempio si può pensare alla costruzione delle Equazioni differenziate Caotiche, per guidarne e modificarne il loro comportamento in base alle proprie esigenze e scopi. vedi Dario Sanfilippo in Bibliografia:

[D.Sanfilippo - Constrained Differential Equations as Complex Sound Generators. Proceedings of the 18th Sound and Music Computing Conference, June 29th{ July 1st 2021]

### IV. Equazioni differenziali

Un'equazione differenziale è un'equazione che lega una funzione incognita alle sue derivate. La funzione derivata di una funzione rappresenta il tasso di cambiamento di una funzione rispetto a una variabile, vale a dire quindi la crescita (o decrescita) che avrebbe una funzione in uno specifico punto spostandosi di pochissimo dal punto considerato.

Può essere anche descritta come un set di equazioni relative al range di cambiamento di un numero sconosciuto e la sua derivata.

ad esempio:

$$y = \sin(y), \quad (1)$$

Esistono dei modelli di equazioni differenziali a comportamenti caotici. I segnali caotici possono infatti essere generati trovando soluzioni numeriche a determinate equazioni differenziali, o mediante l'uso iterativo di mappe di primo ritorno.

Alcune delle equazioni differenziali più utilizzate in grado di generare segnali caotici sono:

Lotka-Volterra, Van der Pol, Lorenz, Rössler, Hindmarsh-Rose, and Thomas.

Ma ovviamente esiste una grande varietà di modelli e implementazioni possibili col fine di ottenere comportamenti caotici.

Nel nostro caso per la generazione del caos andremo a cercare delle soluzioni discrete ad alcune equazioni differenziali caotiche, ed in seconda istanza a modificarne una con il fine di arrivare ad una mia personale implementazione per generare texture sonore.

### V. Discretizzazione ed implementazione delle Equazioni differenziali

In FAUST (Grame) i codici che vengono scritti possono essere anche compilati in Topologie/Schemi a blocchi di circuiti, oltre che in applicazioni audio di vario

tipo. Questo ci permette nel nostro caso di poter esplorare le equazioni differenziali, nelle loro forme discrete, esplose in topologie che ne illustrino il comportamento ed il funzionamento. Partiamo dall'illustrazione di una semplice equazione differenziale che introduce il concetto di iterazione di una funzione:

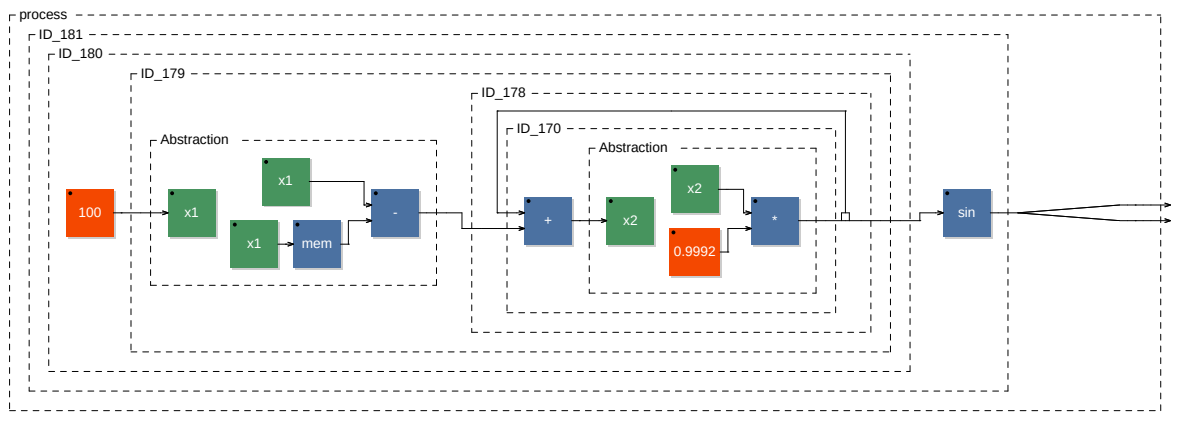


Figure 0.1: Schema di ricorsione in Faust

In questo caso il sistema non è caotico, poiché determinate le condizioni iniziali si può determinare di conseguenza un preciso comportamento per ogni istante di tempo successivo al primo (ad ogni iterazione).

Mandato un Impulso di Dirac (discreto) di valore 100 e della durata di un campione in ingresso al sistema, il valore passa per la moltiplicazione 0.9992, e l'uscita della moltiplicazione è rimandata in ingresso al sistema stesso al campione successivo, in questo caso fino al suo azzeramento.

Sfruttando il comportamento della rampa che viene generata per guidare la funzione seno, si ottiene una modulazione di frequenza direttamente proporzionale alla velocità in cui decade la rampa, che genera un timbro simile a quello di un colpo su una grancassa. Andiamo a vedere il codice in Faust:

Codice Faust: differential\_equation\_circuit.dsp

```
// import Standard Faust library
// https://github.com/grame-cncm/faustlibraries/
import("stdfaust.lib");

// basic circuit for the iteration of a function :
// for solve differential equations (without chaotic behaviors)

recursion(x,a) = output
with{
  Dirac(x) = x-(x:mem);
  differentialequation(x) = x*a;
  circuit = x : Dirac : (+ : differentialequation)~ _;
  output = sin(circuit);
};

process = recursion(100, 0.9992) <: _,_;
```

Ora che abbiamo chiarito la rappresentazione di un circuito in codice Faust, scriviamo lo stesso codice anche in Python; la libreria matplotlib ci permette di esportare dei plot grafici per visualizzare il comportamento della funzione iterata. Ho deciso di creare uno script in python, che ha il compito di creare un plot grafico a partire dai valori di ogni iterazione in uscita dalla funzione e salvarli in un .txt. Un plot esporta i valori della rampa dall'interno della funzione seno, mentre uno semplicemente i valori di ogni iterazione della funzione.

-----  
Codice Python: recursionsin.py & recursionline.py  
-----

```
# ITERAZIONE DI UNA FUNZIONE

# ISTRUZIONI PER LA COMPILAZIONE
# Per la compilazione in un file .txt eseguire in bash il comando:
# $ sudo python3 file.py >> file.txt
# (dove file è il nome del file da compilare)

import math

# PROCESSO:
# la funzione process(a) è il processo deterministico
# su cui si vuole fare - feedback - reiterazione dell'output
# in return avviene l'operazione
def process(a):
    return a*0.9992

# ITERAZIONI:
# è definito qui quante iterazioni ripete il processo di caos deterministico:
iterazioni = int(10000)

# VALORE DI PARTENZA:
# valore di partenza del processo caos deterministico:
valore= float(100)

for j in range (0,iterazioni):
    # mando il valore nel process
    out=process(valore)
        # - math.sin - rimuovere o lasciare per:
        # recursionsin.py & recursionline.py
    valori = print(math.sin(out))
    # feedback: - prendo l'uscita da out e la reimmetto nel process
    valore=out
```

Andiamo a vedere invece lo script in python, che ha il compito di compilare i valori in uscita dalla funzione in un plot grafico utilizzando le librerie matplotlib e numpy.

-----  
Script Python: datagraphplot.py  
-----

```
# PYTHON SCRIPT FOR PLOT A DATA GRAPH
# plot a serie of data numers written in a list like:
# 1
# 2
# 3
# ...

import matplotlib.pyplot as plt
import numpy as np

# External inputs from terminal
filename = input("Enter your data file name (add .txt extension): ")
plotname = input("Enter the name for your plot (add .png/.pdf/... extension): ")

x = np.loadtxt(filename)
plt.plot(x, label='signal')

plt.xlabel('x')
plt.ylabel('y')
plt.title('plot of the signal')
plt.legend()
plt.savefig(plotname)
```

A seguito i plot ottenuti dai codici, ed una tabella contenente invece i primi valori nel file di testo generato da recursionline.py dove è possibile leggere i valori generati da ogni iterazione della funzione.

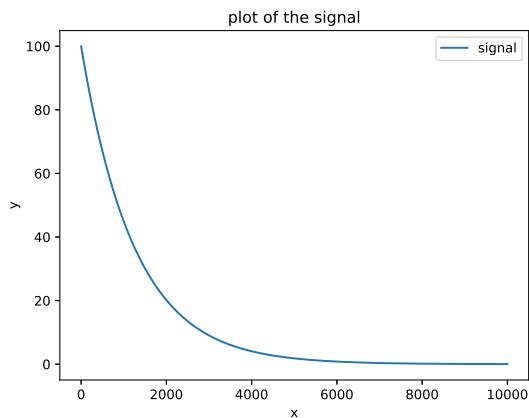


Figure 0.2: Plot grafico dell'iterazione della funzione

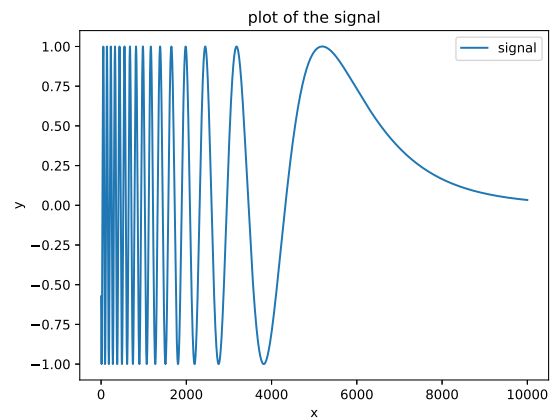


Figure 0.3: Plot grafico dell'iterazione in seno

-----  
 Primi valori da: recursionlineplot.txt  
 -----

99.92	99.840064	99.7601919488	99.68038379524096	99.60063948820476	99.5209589766142	99.4413422094329
99.36178913566536	99.28229970435683	99.20287386459334	99.12351156550167	99.04421275624927	98.96497738604427	98.88580540413543
98.88580540413543	98.80669675981211	98.72765140240426	98.64866928128234	98.56975034585732	98.49089454558063	98.41210182994416
98.41210182994416	98.33337214848021	98.25470545076142	98.17610168640081	98.09756080505169	98.01908275640764	97.94066749020251
97.94066749020251	97.86231495621035	97.78402510424539	97.705797884162	97.62763324585467	97.54953113925798	97.47149151434657
97.47149151434657	97.39351432113509	97.31559950967818	97.23774703007044	97.15995683244638	97.08222886698043	97.00456308388684
97.00456308388684	96.92695943341973	96.849417865873	96.77193833158029	96.69452078091503	96.6171651642903	96.53987143215886
96.53987143215886	96.46263953501314	96.38546942338513	96.30836104784642	96.23131435900814	96.15432930752092	96.0774058440749
96.0774058440749	96.00054391939965	95.92374348426412	95.8470044894767	95.77032688588513	95.69371062437642	95.61715565587691
95.61715565587691	95.5406619313522	95.46422940180712	95.38785801828567	95.31154773187104	95.23529849368555	95.15911025489059
95.15911025489059	95.08298296668667	95.00691658031332	94.93091104704907	94.85496631821142	94.77908234515685	94.70325907928073
94.70325907928073	94.6274964720173	94.55179447483968	94.47615303925981	94.4005721168284	94.32505165913493	94.24959161780762
94.24959161780762	94.17419194451338	94.09885259095776	94.023573508885	93.94835465007789	93.87319596635783	93.79809740958474
93.79809740958474	93.72305893165708	93.64808048451175	93.57316202012414	93.49830349050804	93.42350484771563	93.34876604383746
93.34876604383746	93.27408703100238	93.19946776137758	93.12490818716847	93.05040826061874	92.97596793401024	92.90158715966304
92.90158715966304	92.8272658899353	92.75300407722335	92.67880167396157	92.6046586326224	92.5305749057163	92.45655044579173
92.45655044579173	92.38258520543509	92.30867913727074	92.23483219396093	92.16104432820576	92.0873154927432	92.01364564034901
92.01364564034901	91.94003472383673	91.86648269605766	91.7929895099008	91.71955511829289	91.64617947419825	91.57286253061889
91.57286253061889	91.4996042405944	91.42640455720192	91.35326343355615	91.2801808228093	91.20715667815105	91.13419095280852
91.13419095280852	91.06128360004628	90.98843457316624	90.91564382550771	90.8429113104473	90.77023698139895	90.69762079181383
90.69762079181383	90.62506269518038	90.55256264502422	90.4801205949082	90.40773649843227	90.33541030923352	90.26314198098613
90.26314198098613	90.19093146740134	90.1187787222742	90.04668369924964	89.97464635229024	89.9026666352084	89.83074450190024
89.83074450190024	89.75887990629872	89.68707280237368	89.61532314413178	89.54363088561647	89.47199598090798	89.40041838412324
89.40041838412324	89.32889804941594	89.2574349309764	89.18602898303162	89.1146801598452	89.04338841571732	88.97215370498473
88.97215370498473	88.90097598202074	88.82985520123512	88.75879131707413	88.68778428402047	88.61683405659325	88.54594058934798
88.54594058934798	88.4751038368765	88.40432375380699	88.33360029480394	88.2629334145681	88.19232306783644	88.12176920938217
88.12176920938217	88.05127179401465	87.98083077657944	87.91044611195817	87.84011775506859	87.76984566086453	87.69962978433584
87.69962978433584	87.62947008050837	87.55936650444396	87.4893190112404	87.4193275560314	87.34939209398658	87.27951258031139
87.27951258031139	87.20968897024714	87.13992121907094	87.07020928209569	87.00055311467001	86.93095267217828	86.86140791004054
86.86140791004054	86.7919187837125	86.72248524868553	86.65310726048658	86.5837847746782	86.51451774685844	86.44530613266096
86.44530613266096	86.37614988775483	86.30704896784462	86.23800332867035	86.16901292600741	86.1000777156666	86.03119765349406
86.03119765349406	85.96237269537126	85.89360279721495	85.82488791497718	85.7562280046452	85.68762302224148	85.61907292382368
85.61907292382368	85.55057766548462	85.48213720335224	85.41375149358956	85.34542049239468	85.27714415600076	85.20892244067596
85.20892244067596	85.14075530272342	85.07264269848125	85.00458458432246	84.936580916655	84.86863165192167	84.80073674660014
84.80073674660014	84.73289615720286	84.6651098402771	84.59737775240487	84.52969985020295	84.46207609032278	84.39450642945052
84.39450642945052	84.32699082430695	84.2595292316475	84.19212160826218	84.12476791097558	84.0574680966468	83.99022212216948
83.99022212216948	83.92302994447175	83.85589152051617	83.78880680729975	83.7217757618539	83.65479834124442	83.58787450257142
83.58787450257142	83.52100420296937	83.454187399607	83.38742404968731	83.32071411044755	83.25405753915919	83.18745429312786
83.18745429312786	83.12090432969335	83.05440760622959	82.98796408014461	82.92157370888049	82.85523644991338	82.78895226075345
82.78895226075345	82.72272109894485	82.65654292206568	82.59041768772803	82.52434535357786	82.458325877295	82.39235921659316
82.39235921659316	82.3264453292199	82.26058417295651	82.19477570561814	82.12901988505365	82.0633166691456	81.99766601581028
81.99766601581028	81.93206788299763	81.86652222869122	81.80102901090827	81.73558818769953	81.67019971714937	81.60486355737565
81.60486355737565	81.53957966652975	81.47434800279652	81.40916852439427	81.34404118957475	81.2789659566231	81.2139427838578
81.2139427838578	81.14897162963071	81.084052452327	81.01918521036514	80.95436986219684	80.88960636630708	80.82489468121403
80.82489468121403	80.76023476546906	80.69562657765668	80.63107007639455	80.56656522033343	80.50211196815717	80.43771027858264
80.43771027858264	80.37336011035977	80.30906142227148	80.24481417313366	80.18061832179515	80.11647382713771	80.052380648076
80.052380648076	79.98833874355753	79.92434807256268	79.86040859410463	79.79652026722934	79.73268305101556	79.66889690457474
79.66889690457474	79.60516178705107	79.54147765762143	79.47784447549533	79.41426219991493	79.350730790155	79.28725020552287
79.28725020552287	79.22382040535845	79.16044134903416	...			



## VI. La Mappa Logistica

Per introdurre delle equazioni differenziali che presentano comportamenti caotici, un primo passo può essere quello di implementare dei sistemi caotici ad un'equazione, l'equazione della mappa logistica è uno di questi. La mappa logistica è una mappa polinomiale di secondo grado, introdotta dal biologo Robert May nel 1976. May elaborò la mappa a partire dall'equazione logistica del matematico Pierre François Verhulst che, tra il 1838 e il 1847, la utilizzò per descrivere l'evoluzione di una popolazione nel tempo.

L'equazione differenziale che descrive la mappa logistica è la seguente:

$$x_n + 1 = rx_n(1 - xn), \quad (2)$$

Dove  $x_n$  è un numero compreso tra 0 e 1, e rappresenta il rapporto tra la popolazione esistente e quella massima possibile in un anno  $n$ , e quindi  $x_0$  rappresenta il rapporto tra la popolazione iniziale (all'anno 0) e quella massima;  
 $r$  è un numero positivo e rappresenta il tasso combinato tra la riproduzione e la mortalità.

Andiamo ora ad osservare la topologia della mappa logistica nello schema a blocchi:

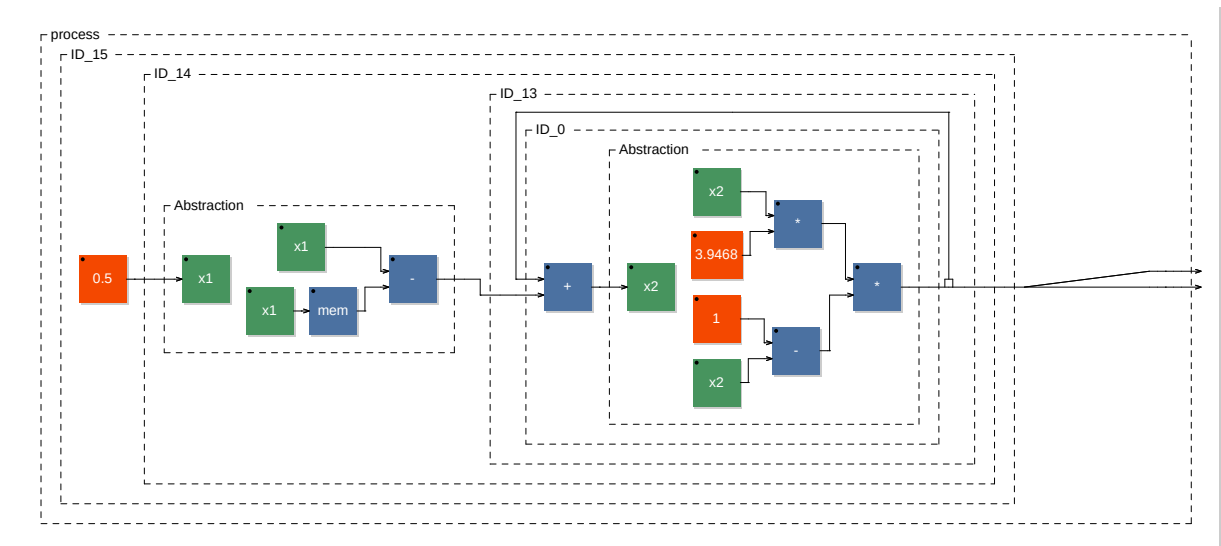


Figure 0.4: Schema Topologico della Mappa Logistica

In questa rappresentazione i valori dati sono di  $x = 0.5$  e di  $r = 3.9468$ . Come per l'implementazione dell'equazione precedente (a questa della mappa logistica), determinate le condizioni iniziali di  $x$  ed  $r$ , si può determinare di conseguenza un preciso comportamento per ogni istante di tempo successivo al primo, ma in questo caso il sistema è caotico, poichè al variare di queste configurazioni ne variano gli esiti. Andiamo a rappresentare il corrispettivo codice appartenente allo schema in Faust ed in Python, ed il corrispettivo plot del codice Python:

-----  
 Codice Faust: logisticmap.dsp  
 -----

```
// import Standard Faust library
// https://github.com/grame-cncm/faustlibraries/
import("stdfaust.lib");

// Logistic Map - simple non-linear dynamical equation
// starting population (x) = number from 0. to 1.
// resources of the population (r) = number from 0. to 4.

logisticmap(x,r) = mapfunc
with{
  Dirac(x) = x-(x:mem);
  lmap(x) = x*r*(1-x);
  mapfunc = x : Dirac : (+ : lmap)~ _;
};

process = logisticmap(0.5,3.9468) <: _,_;
```

-----  
Codice Python: logisticmap.py  
-----

```
# MAPPA LOGISTICA

# equazione differenziale della mappa logistica
def logisticmap(x, r):
    return x * r * (1 - x)

# anni = iterazioni del processo (cicli iterativi)
iterazioni = int(100)

# VALORI DI PARTENZA:
# valori di x ed r
x = float(0.5)
r = float(3.9468)

# loop degli anni, e passa i valori aggiornati nuovamente
# all'interno dell'equazione differenziale
for j in range (0,iterazioni):
    # mando il valore nell'equazione differenziale
    out = logisticmap(x,r)
    # print dei valori in uscita
    print(out)
    # feedback:
    x=out
```

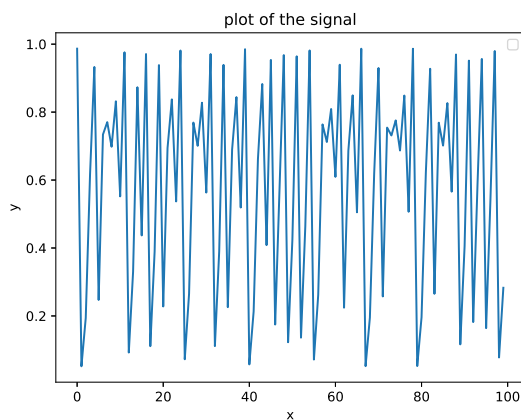


Figure 0.5: Plot mappa logistica per 100 anni

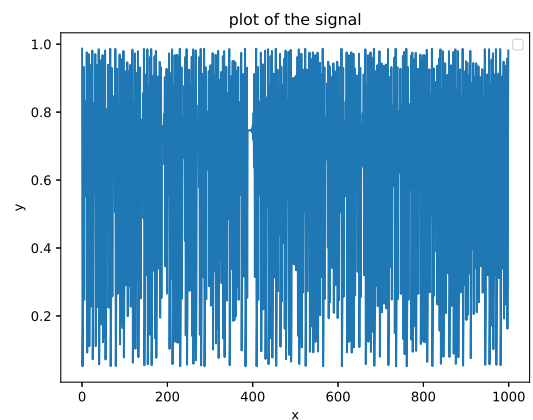


Figure 0.6: Plot mappa logistica per 1000 anni

## VII. Attrattore di Lorenz

Spostando ora la nostra attenzione, verso dei sistemi con dei comportamenti caotici descritti da più equazioni differenziali del primo ordine, la nostra attenzione può ricadere sull'attrattore di Lorenz. L'attrattore di Lorenz fu il primo esempio di un sistema di equazioni differenziali a bassa dimensionalità in grado di generare un comportamento caotico.

Venne scoperto da Edward N. Lorenz, del Massachusetts Institute of Technology, nel 1963.

Semplificando le equazioni del moto alle derivate parziali che descrivono il movimento termico di convezione di un fluido, Lorenz ottenne un sistema di tre equazioni differenziali del primo ordine. La versione continua dell'equazione differenziale che descrive il modello di Lorenz è la seguente:

$$\dot{x} = \sigma(y - x), \dot{y} = -xz + rx - y, \dot{z} = xy - bz, \quad (3)$$

Dove la variabile  $x$  è proporzionale all'ampiezza della circolazione della velocità del fluido nell'anello del fluido, il positivo rappresenta il moto in senso orario ed il negativo il senso antiorario. La variabile  $y$  è la differenza di temperatura tra i fluidi su e giù, e  $z$  è la distorsione dalla linearità del profilo della temperatura verticale.

Andiamo ora ad osservare la topologia dell'Attrattore di Lorenz discretizzato nello schema a blocchi:

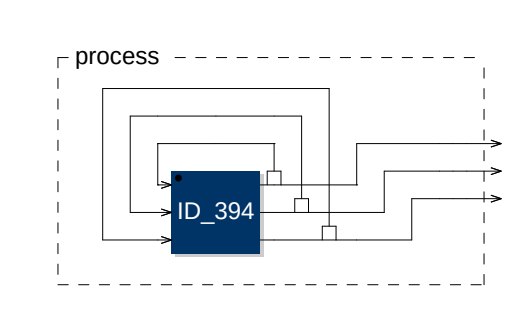


Figure 0.7: Schema di Reiterazione delle equazioni del sistema di Lorenz

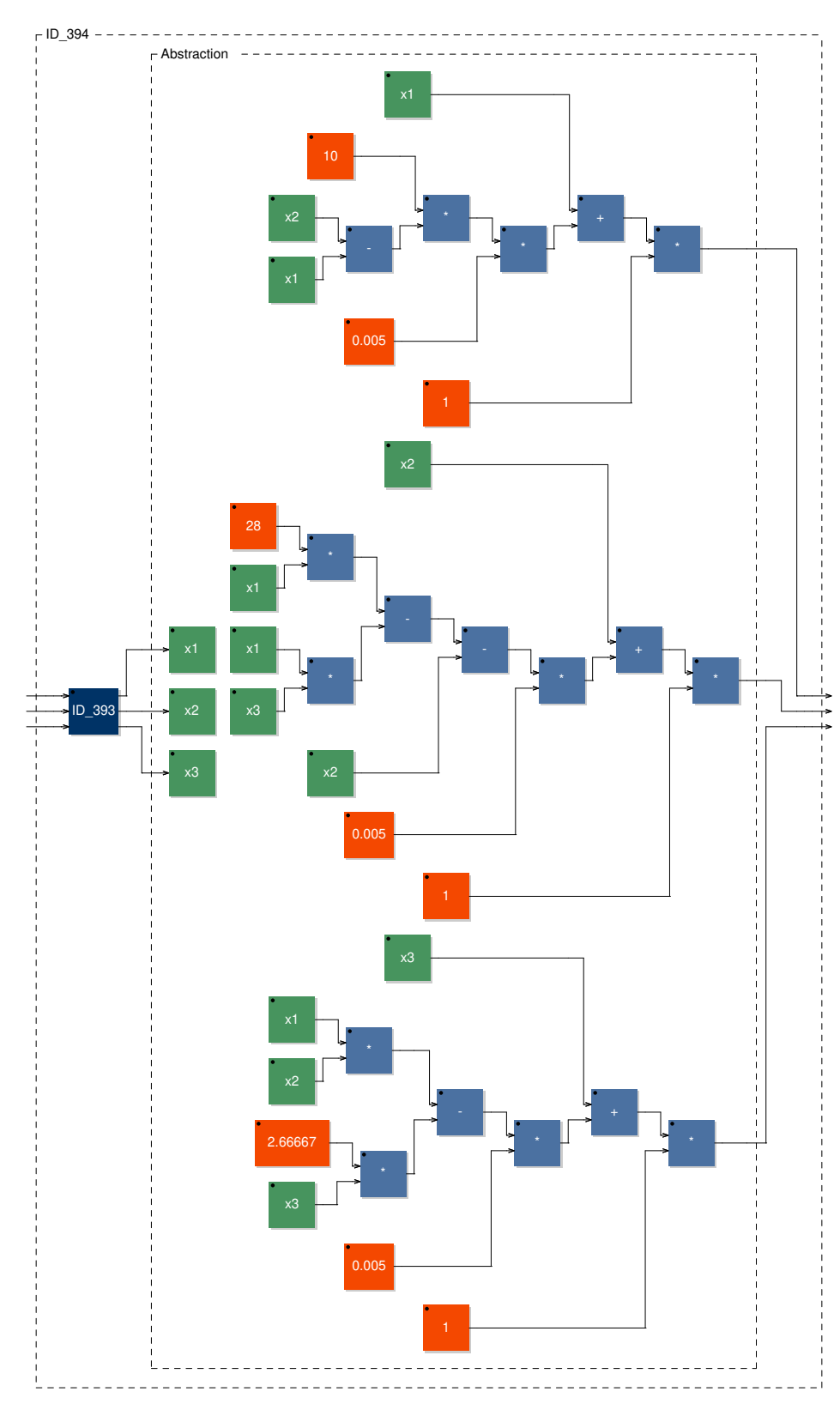


Figure 0.8: Schema Topologico delle equazioni del sistema di Lorenz

In questa rappresentazione i valori dati sono di  $x = 1.2$ ,  $y = 1.3$ ,  $z = 1.6$ . Ma nella discretizzazione si rendono necessari altri parametri interni alla topologia esposta, che andiamo ad osservare all'interno del codice in Faust appartenente a questa:

-----  
Codice Faust: lorenz.dsp  
-----

```
// import Standard Faust library
// https://github.com/grame-cncm/faustlibraries/
import("stdfaust.lib");

// Lorenz System Osc with 3 Out
lorenz(x0,y0,z0) = ( x+_,y+_,z+_ : loop ) ~ si.bus(3)
  with {

    x = x0-x0';
    y = y0-y0';
    z = z0-z0';

    sigma = 10.0; // a
    rho = 28; // b
    beta = 2.666667; // c
    dt = 0.005; // d

    // iterative times increasing
    q = 1.0;

    loop(x,y,z) =
      (x+(sigma*(y-x))*dt)*q,
      (y+ (rho*x -(x*z) -y)*dt)*q,
      (z+ ((x*y)-(beta*z)) *dt)*q;

  };

routingamp(a) = _*a, _*a, _*a;

process = lorenz(1.2,1.3,1.6);
```

La discretizzazione è stata presa dal paper in Bibliografia:  
[Wanqing Song, Jianru Liang - DIFFERENCE EQUATION OF LORENZ SYSTEM. International Journal of Pure and Applied Mathematics Volume 83 No. 1 2013, 101-110],  
dove vediamo comparire i valori per:  $dt=0.005$ ;  $\sigma=10.0$ ;  $\rho=28$ ;  $\beta=2.666667$ .  
Con in aggiunta il fattore di magnificazione  $q$ , che nel codice ho lasciato allo stato  $q = 1.0$  per non alterare il comportamento dell'equazione. Andiamo ora a rappresentare il corrispettivo codice in Python, ed i corrispettivi plots del codice:

-----  
 Codice Python: lorenz.py  
 -----

# ATTRATTORE DI LORENZ

# definizione dell'equazione differenziale

```
def lorenz(x, y, z, sigma=10, rho=28, beta=2.666667, dt=0.005, q = 1.0):
    x_0 = (x+(sigma*(y-x))*dt)*q
    y_0 = (y+ (rho*x -(x*z) -y)*dt)*q
    z_0 = (z+ ((x*y)-(beta*z)) *dt)*q
    return x_0, y_0, z_0
```

# iterazioni del processo (cicli iterativi)  
 iterazioni = int(1000)

# VALORI DI PARTENZA x,y,z:

x = float(1.2)

y = float(1.3)

z = float(1.6)

# sviluppo e feedback dell'equazione differenziale

```
for j in range (0,iterazioni):
    # mando i valori nell'equazione differenziale
    out = lorenz(x,y,z)
    # print solo della variabile x
    # per altri outs sostituire con: y,z, o(x,y,z)
    print(x)
    # feedback delle tre variabili x,y,z:
    (x,y,z)=out
```

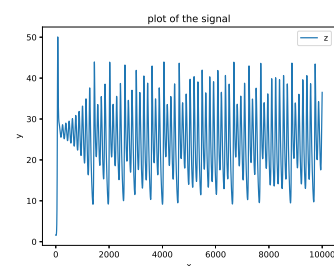
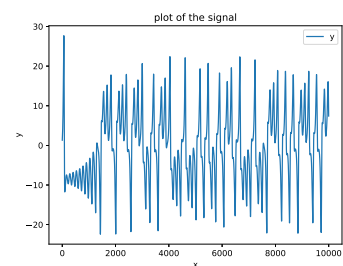
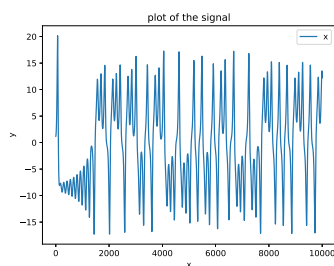


Figure 0.9: Plot grafico per i valori per x di Lorenz in 10.000 iterazioni

Figure 0.10: Plot grafico per i valori per y di Lorenz in 10.000 iterazioni

Figure 0.11: Plot grafico per i valori per z di Lorenz in 10.000 iterazioni

## VIII. Il Random Walk

In matematica, più precisamente nella teoria della probabilità, un processo stocastico (o processo aleatorio) è la versione probabilistica del concetto di sistema dinamico. Un processo stocastico è un insieme ordinato di funzioni reali di un certo parametro (in genere il tempo) che gode di determinate proprietà statistiche. In generale è possibile identificare questo processo come una famiglia con un parametro di variabili casuali reali  $X(t)$  rappresentanti le trasformazioni dallo stato iniziale allo stato dopo un certo tempo  $t$ . Uno dei processi stocastici più semplici è la passeggiata aleatoria (random walk), il termine random walk fu introdotto per la prima volta da Karl Pearson nel 1905. Il random walk è la formalizzazione dell'idea di prendere passi successivi in direzioni casuali, ed è il processo markoviano più semplice la cui rappresentazione matematica più nota è costituita dal processo di Norbert Wiener. Un processo di Wiener, che è conosciuto anche come moto Browniano, è un processo stocastico gaussiano in tempo continuo con incrementi indipendenti, ed è usato per modellizzare il moto browniano stesso e diversi fenomeni casuali osservati nell'ambito della matematica applicata, della finanza e della fisica. Con il termine moto browniano si fa riferimento in particolare al moto disordinato di particelle sufficientemente piccole (aventi diametro dell'ordine del micrometro) da essere sottoposte a una forza di gravità trascurabile, presenti in fluidi o sospensioni fluide o gassose (ad esempio il fumo), ed osservabile al microscopio. Il fenomeno fu scoperto agli inizi dell'Ottocento dal botanico scozzese Robert Brown, e modellizzato nel 1905 dal fisico teorico tedesco Albert Einstein. Procediamo nell'implementazione in Python di un random walk ed andiamo ad osservarne il comportamento tramite il plot grafico.

-----  
Codice Python: randomwalk.py  
-----

```
# RANDOM WALK

from random import random

# PROCESSO:
# la funzione process(a) è il processo deterministico
# su cui si vuole fare - feedback - reiterazione dell'output
# plusminusrand è ad ogni ciclo un -1 o +1 su a
def process(a):
    plusminusrand = ( random() > 0.5)*2 -1 )
    return a + plusminusrand

# ITERAZIONI:
# è definito qui quante iterazioni ripete il processo stocastico:
iterazioni = int(100)

# VALORE DI PARTENZA:
# valore di partenza del processo stocastico:
valore= float(0)

for j in range (0,iterazioni):
    # mando il valore nel process
    out=process(valore)
    print(out)
    # print( (random() > 0.5)*2 -1 )
    # feedback: - prendo l'uscita da out e la reimmetto nel process
```



valore=out

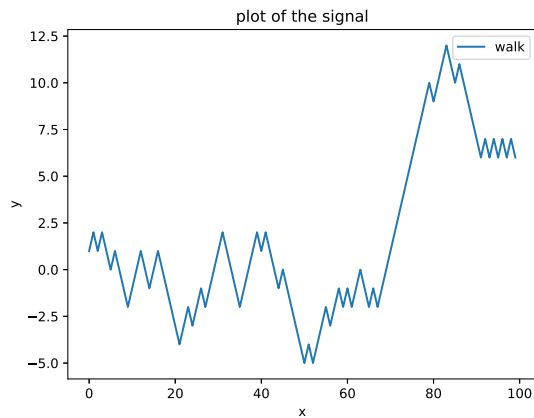


Figure 0.12: Plot grafico del random walk per 100 iterazioni

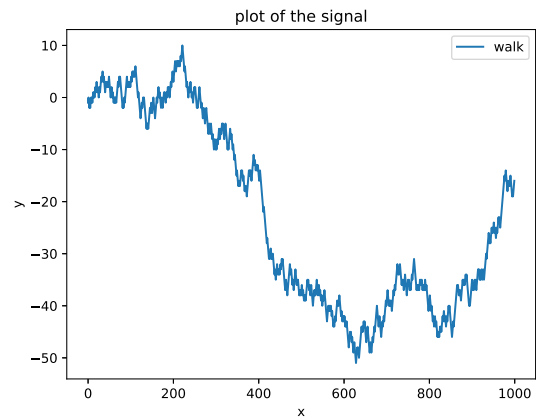


Figure 0.13: Plot grafico del random walk per 1000 iterazioni

Possiamo notare dai plot di questo semplice processo stocastico, che le iterazioni conducono a valori che potenzialmente possono arrivare sino ad infinito: queste poche iterazioni conducono a valori molto distanti da quelli di partenza, figuriamoci in applicazioni audio dove la frequenza di campionamento è solitamente ad un valore minimo di 44100 campioni al secondo!

Lo stesso problema può ovviamente presentarsi anche con le applicazioni dei sistemi caotici, difatti le equazioni differenziali che abbiamo studiato fino ad ora, non consentono di poter essere esplorate come segnali audio DSP in tutte le regioni della loro esistenza, e per tutti i valori iniziali.

L'esplorazione di queste equazioni in regioni instabili tuttavia è possibile grazie al concetto di Costrizione Matematica. In matematica, una costrizione è una condizione di un problema di ottimizzazione che la soluzione deve soddisfare, in questo modo si possono utilizzare delle soluzioni a delle equazioni differenziali che altrimenti per i nostri scopi sarebbero inutilizzabili.

Partiamo da una semplice costrizione, che ho introdotto all'interno del codice di un random walk implementato in Faust. La costrizione in questo caso avviene tramite la tecnica di Wavefolding. Il Wavefolding è un tipo di distorsione che si manifesta quando l'ampiezza di ingresso supera la soglia. In questa tecnica i picchi vengono tagliati, in modo simile al clipping digitale, ma la differenza è che nel wavefolding, i picchi di ampiezza sopra la soglia vengono invertiti di fase in una serie di pieghe: "folds". In bibliografia c'è un paper che espone in maniera esaustiva la tecnica utilizzata fra i vari argomenti: [Jatin Chowdhury - COMPLEX NONLINEARITIES FOR AUDIO SIGNAL PROCESSING. Center for Computer Research in Music and Acoustics Stanford University Palo Alto, CA]

andiamo dunque a visualizzare il corrispettivo codice in Faust del random walk constrained, e la sua topologia.

-----  
Codice Faust: Constrained\_Random\_Walk.dsp  
-----

```
// import Standard Faust library
// https://github.com/grame-cncm/faustlibraries/
import("stdfaust.lib");

// RANDOM WALK - function
randomwalk(walkfreq,noisefreq,noiseseed) = randomwalkout
with{

    // NOISE GENERATION - function
    noise(seed) = variablenoiseout
    with{
        rescaleint(a) = a-int(a);
        variablenoiseout = ((+(1457932343)~*(1103515245)) * seed)
        / (2147483647.0) : rescaleint;
    };

    // SAMPLE AND HOLD - function
    sampleandhold(frequency) = sampleandholdout
    with{
        // PHASOR
        decimal(x)= x-int(x); // reset to 0 when int
        phase = frequency/ma.SR : (+ : decimal) ~ _; // phasor with frequency
        // PHASOR to 0 and 1
        saw = phase-0.5; // phasor : -0.5 to +0.5
        ifpos = (saw > 0); // phasor positive =1; phasor negative =0
        // PHASOR 1 to Impulse
        trainpulse = ( ifpos - ( ifpos:mem ) ) > 0; // impulse and delete all under 0
        // SAMPLE AND HOLD
        sampleandholdout(a) = (*(1 - trainpulse) + a * trainpulse) ~ _;
    };

    // RANDOM WALK:
    // SAMPLE AND HOLD THE NOISE: noise ----> sample and hold ----> pos
    sahnoise = noise(noiseseed) : sampleandhold(noisefreq);
    // BINARY NOISE (-1 and +1)
    plusminuscond(a) = (a>0)+(a<0)*-1;
    noisebinary = sahnoise : plusminuscond;
    // PHASOR GENERATION
    randomwalkout = (walkfreq/ma.SR)*noisebinary : + ~ _;

};

// WAVEFOLDING
wavefolding = _ : constrainedout
with{
    intreset(x)= x-int(x);
    triconditionpos(x) = (x<0.5)*(x) + ((x>0.5)*((x*-1)+1));
    trifunctionpos(x) = (x>0)*(x) : triconditionpos;
```

```

triconditionneg(x) = (x>-0.5)*(x) + ((x<-0.5)*((x*-1)-1));
trifunctionneg(x) = (x<0)*(x) : triconditionneg;
constrainedout = (intreset <: trifunctionpos,trifunctionneg :> + : _*2);
};

process = randomwalk(1,3.2,24681242) : wavefolding <: _,-;

```

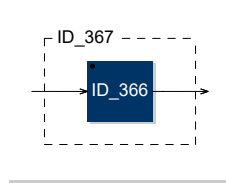


Figure 0.14: Schemi del Wavefolding

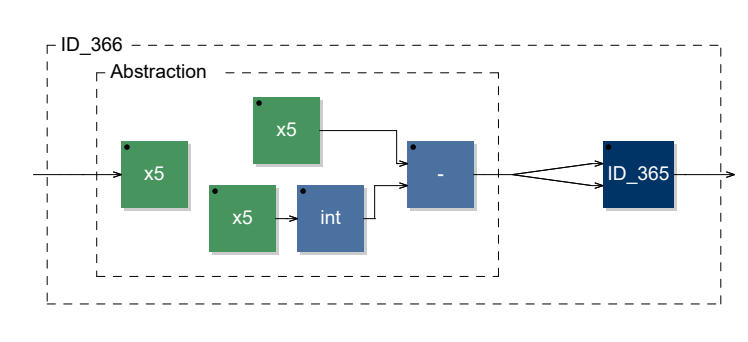


Figure 0.15: Schemi del Wavefolding

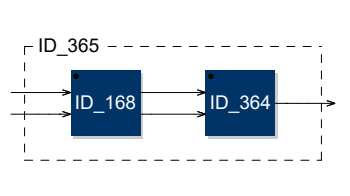


Figure 0.16: Schemi del Wavefolding

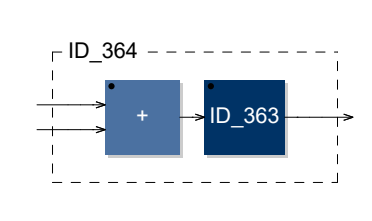


Figure 0.17: Schemi del Wavefolding

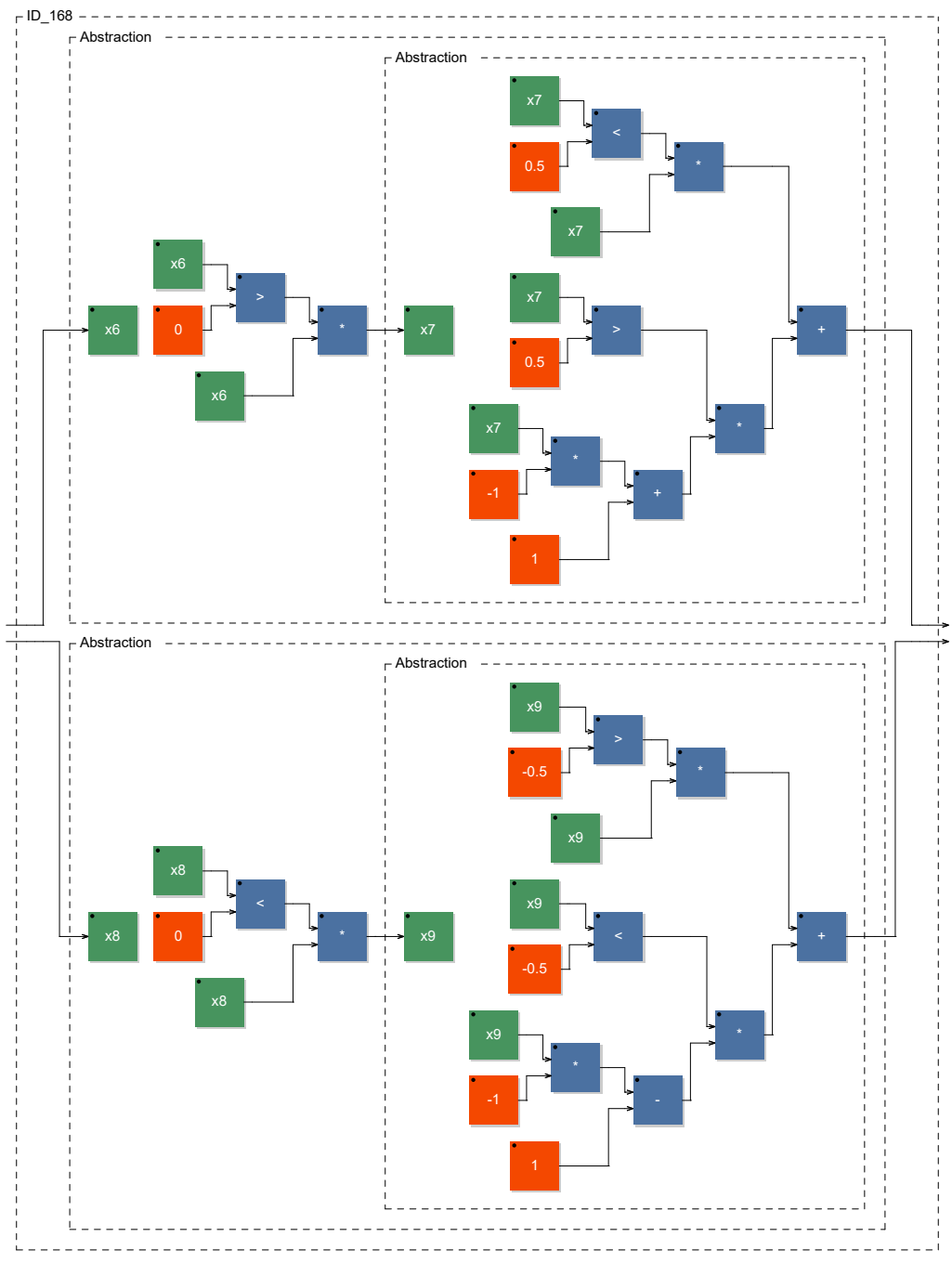


Figure 0.18: Schemi del Wavefolding

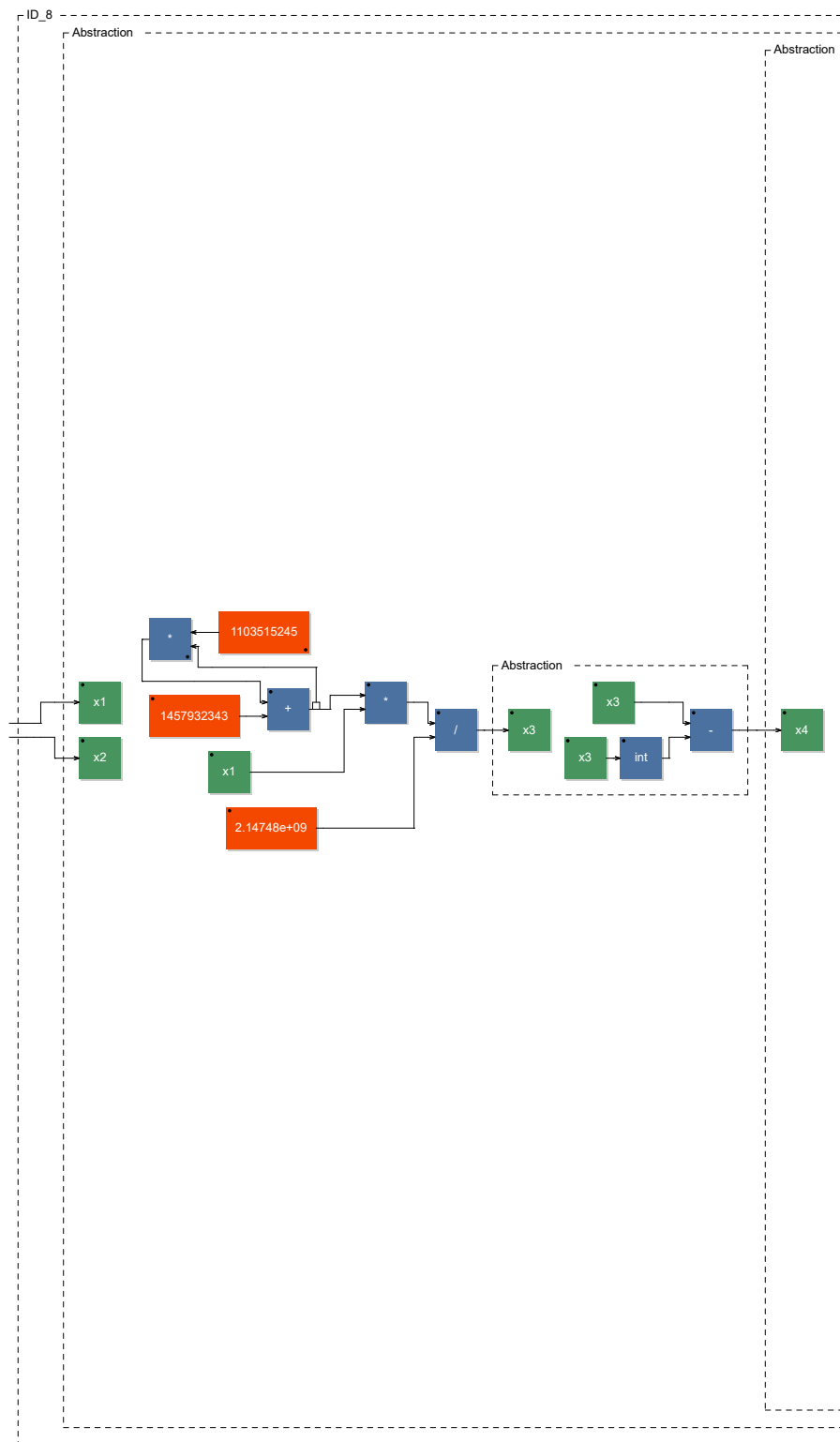


Figure 0.19: Schemi del random walk

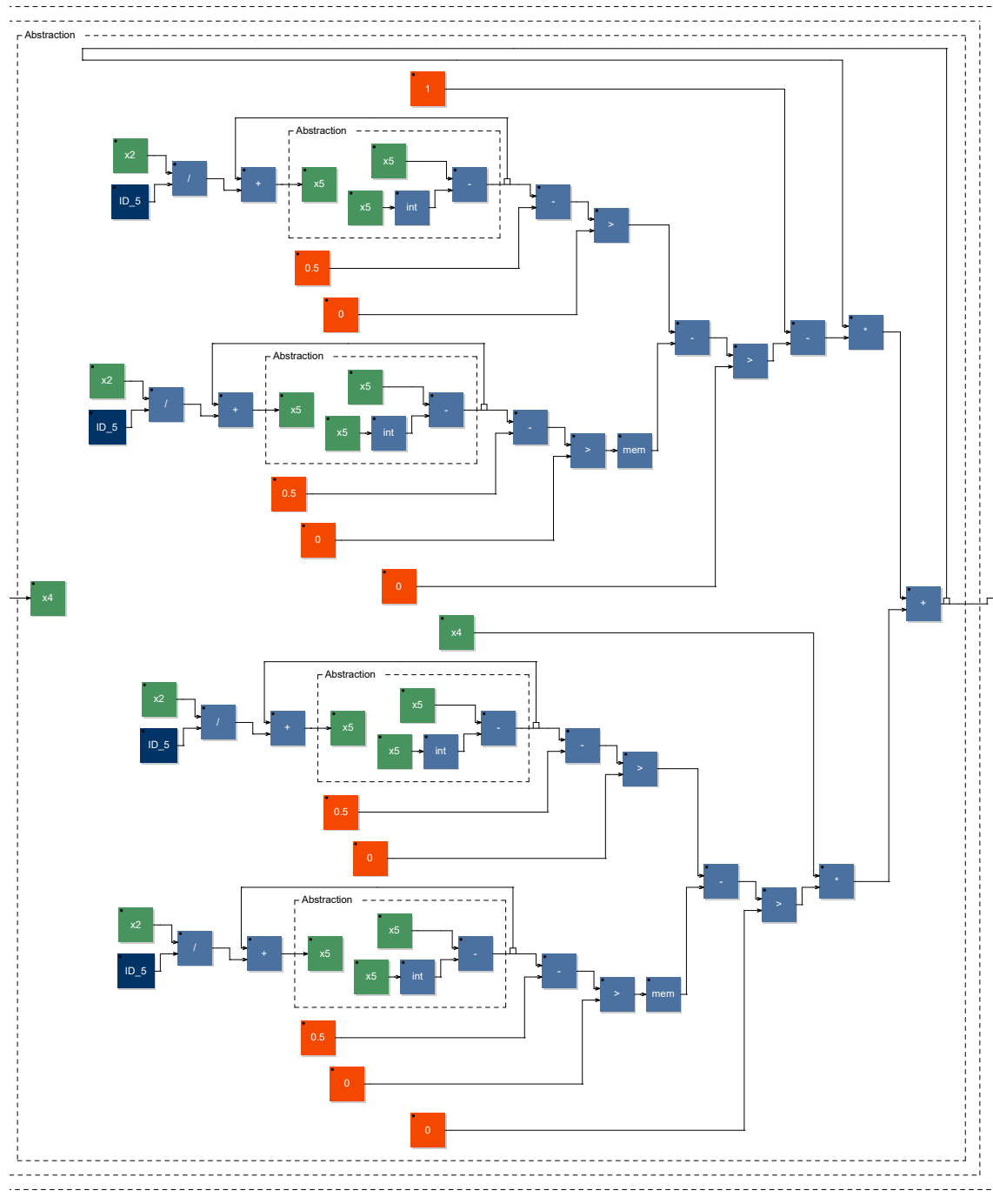


Figure 0.20: Schemi del random walk

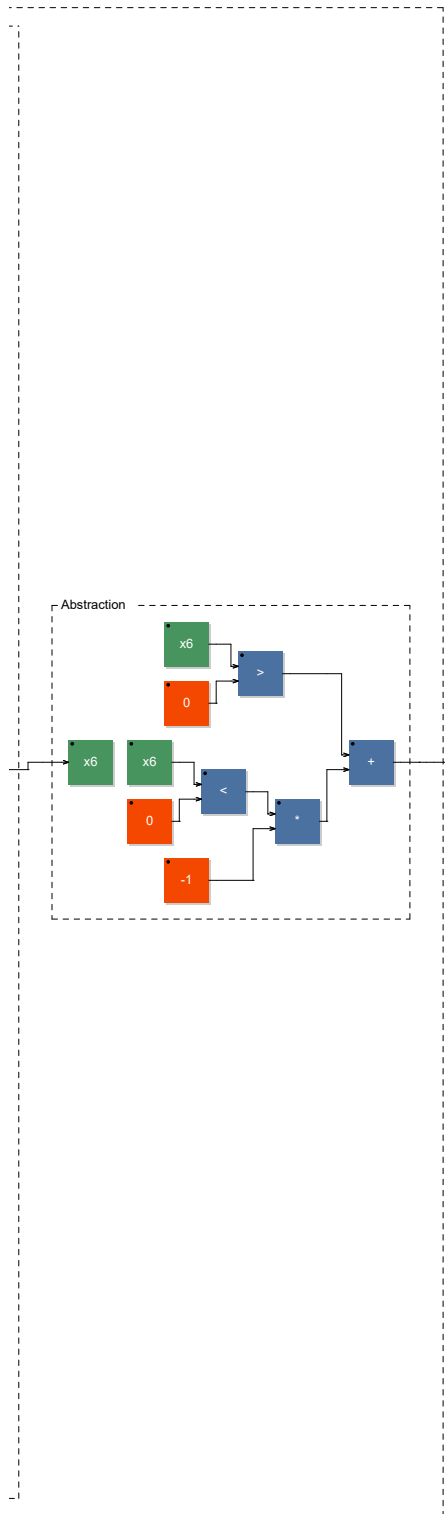


Figure 0.21: Schemi del random walk

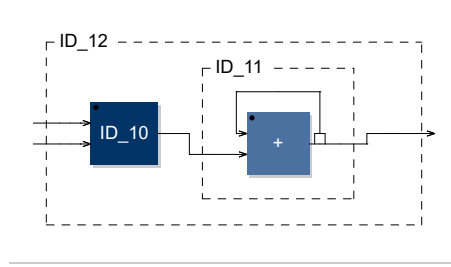


Figure 0.22: Schemi del random walk



## IX. Costrizione ed Adattività

Come abbiamo già visto in precedenza, e si può osservare in Bibliografia, esistono recenti ricerche che si pongono il problema di un adattività dei sistemi caotici, col fine di poterli utilizzare per determinati scopi. Per poter esplorare un sistema caotico, col fine di creare un segnale udibile in tutte le sue regioni, è necessario dunque porsi un problema di ottimizzazione. Prima abbiamo introdotto il concetto di costrizione matematica utilizzando il Wavefolding, ora invece andando ad introdurre un problema di ottimizzazione riguardo l'equazione di Lorenz, è necessario chiedersi quali strumenti possano contrastare i problemi che possono verificarsi. Il DC Offset, e i valori più grandi di  $-1, +1$  (fino ad infinito). Il sistema di Lorenz che sono andato a costruire è una modifica dell'equazione differenziale, che introduce per ogni equazione: un DC Blocker per l'offset, un Softclipper per costringere le regioni fra  $\pm 1$ , e un filtro Lowpass One-Pole TPT di Vadim Zavalishin per interventi timbrici.

Il DC blocker è uno strumento indispensabile nella modellazione della guida d'onda digitale e in altre applicazioni. È spesso necessario rimuovere la componente Continua del segnale che circola in una linea di ritardo, consiste sostanzialmente in un filtro FIR highpass, poiché le continue possono essere viste come frequenze a 0Hz, ed un onepole in serie che recupera parte della cancellazione del FIR:

$$y(n) = x(n) - x(n-1) + Ry(n-1), \quad (4)$$

Il Softclipping è invece uno dei più classici saturatori, costituito dalla funzione tangente iperbolica:

$$y(t) = \tanh x(t), \quad (5)$$

Anche se il segnale di ingresso di questo saturatore è molto grande, l'uscita non supera mai  $\pm 1$ . Quindi, questo elemento satura il segnale (origine del termine saturatore).

Infine il TPT One-Pole di Vadim Zavalishin, il motivo per cui questo è così interessante è che preserva matematicamente la topologia del filtro analogico originale, incluso (nella maggior parte dei casi) il ritardo zero campioni. Questa categoria di filtri è chiamata Topology Preserving Transform filters o TPT filters. In Bibliografia un paper di Will Pirkle che ne parla:

[Will Pirkle - Virtual Analog (VA) Filter Implementation and Comparisons, Copyright © 2013 Will Pirkle]

Andiamo ora a vedere il codice del sistema di Lorenz modificato, e a seguito uno schema che illustra le sostanziali modifiche rispetto alla vecchia implementazione del codice Faust.

```
-----
Codice Faust: Lorenz_System_Oscillator.dsp
-----
```

```
// import Standard Faust library
// https://github.com/grame-cncm/faustlibraries/
import("stdfaust.lib");

// Lorenz System Synth
lorenzsynth
(X_in,Y_in,Z_in,
Sigma_in,Rho_in,Beta_in,Dt_in,
Qoffset,Qamp,FreqCut) =
(ro.interleave(3,2) : ( x0+_,y0+_,z0+_ : loop )) ~ si.bus(3)
with{
    loop(x,y,z) =
    ma.tanh(filterTPT(FreqCut,
    ((x+(sigma*(y-x))*dt)*(nonlinearQ) : dcblocker(1,0.98)))),
    ma.tanh(filterTPT(FreqCut,
    (y+ (rho*x -(x*z) -y)*dt)*(nonlinearQ) : dcblocker(1,0.98))),
    ma.tanh(filterTPT(FreqCut,
    (z+ ((x*y)-(beta*z)) *dt)*(nonlinearQ) : dcblocker(1,0.98)));

    // System Variables
    x0 = _;
    y0 = _;
    z0 = _;
    sigma = Sigma_in; // a
    rho = Rho_in; // b
    beta = Beta_in; // c
    dt = Dt_in; // d

    // Noise (positive 0-1)
    noise(seed) = variablenoiseout
    with{
        rescaleint(a) = ((a-int(a))+1)*0.5;
        variablenoiseout = ((+(1457932343)~*(1103515245)) * seed)
        / (2147483647.0) : rescaleint;
    };
    // NON-Linear iterative times increasing
    nonlinearQ = noise(24215682)*Qamp+Qoffset;
    // Filter Section : DC Block & Filter
    dcblocker(zero,pole) = dcblockerout
    with{
        onezero = _ <: _,mem : _,*(zero) : -;
        onepole = + ~ *(pole);
        dcblockerout = _ : onezero : onepole;
    };
    // TPTfilter - Lowpass Out
    filterTPT(CF, x) = loop ~ _ : ! , si.bus(3) : _,!,!
    with {
        g = tan(CF * ma.PI / ma.SR);
        G = g / (1.0 + g);
        loop(s) = u , lp , hp , ap
```

```
        with {
            v = (x - s) * G;
            u = v + lp;
            lp = v + s;
            hp = x - lp;
            ap = lp - hp;
        };
    };
};

// GUI
Qoffset = hslider("[2] Q-Offset",10,1,100,0.01) : si.smoo;
Qamp = hslider("[3] Nonlinear-Q-Amp",0,0,10,0.01) : si.smoo;
CF = hslider("[4] Lowpass Cut Hz", 1000, 20, 20000, .001): si.smoo;
DiracGUI = button("[0] Dirac");
Dirac = DiracGUI-DiracGUI' > 0;
Analoginput = hslider("[1] Analog Input ",0,0,10,0.01) : si.smoo;
routingamp1(a,b,c) =
a*(hslider("[5] X-OUT1",0.1,0,1,0.01) : si.smoo) +
b*(hslider("[6] Y-OUT1",0,0,1,0.01) : si.smoo) +
c*(hslider("[7] Z-OUT1",0,0,1,0.01) : si.smoo) ;
routingamp2(a,b,c) =
a*(hslider("[8] X-OUT2",0.1,0,1,0.01) : si.smoo) +
b*(hslider("[9] Y-OUT2",0,0,1,0.01) : si.smoo) +
c*(hslider("[9] Z-OUT2",0,0,1,0.01) : si.smoo) ;

process = (_*Analoginput)+(Dirac*0.1)
<: lorenzsynth
(_,_,_, // X,Y,Z
10,28,2.65,0.01, //Sigma, Rho, Beta, Dt
Qoffset,Qamp,CF) <: routingamp1, routingamp2; // GUI
```

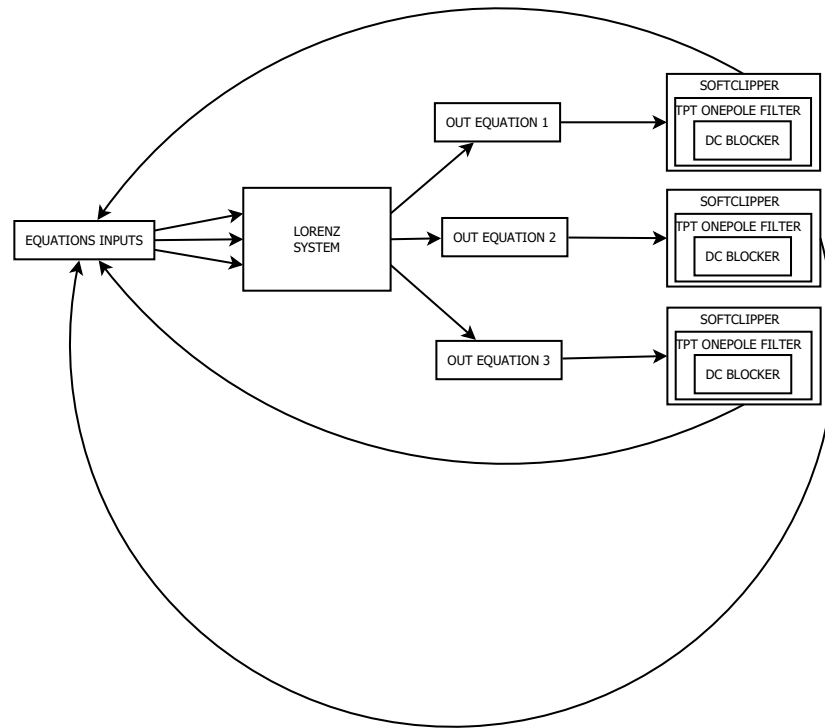


Figure 0.23: Schema di Modifica del sistema di Lorenz

Routing: Equation --> DC Blocker --> TPT Filter --> Softclipper

## X. Conclusioni

Come nel feedback acustico, che consiste nel ritorno di un suono fra una sorgente e un recettore, il territorio delle implementazioni digitali dei sistemi caotici discreti, o più in generale dei sistemi complessi, può essere un territorio sonoro d'indagine interessante per la produzione di Musica e Sound Design. La tempo-varianza di questi sistemi, la loro imprevedibilità e complessità, può permettere di lavorare in termini di controllo tramite retroazioni negative e positive ottenendo comportamenti più naturali di quelli ottenibili attraverso le tecniche di sintesi tradizionali, ottenendo delle non-linearità grazie alla natura stessa di questi sistemi.

## Bibliography

- [Chowdhury Jatin] Chowdhury Jatin Center for Computer Research in Music and Acoustics Stanford University Palo Alto, CA COMPLEX NONLINEARITIES FOR AUDIO SIGNAL PROCESSING [https://ccrma.stanford.edu/~jatin/papers/Complex\\_NLs.pdf](https://ccrma.stanford.edu/~jatin/papers/Complex_NLs.pdf)
- [DI SCIPIO AGOSTINO] DI SCIPIO AGOSTINO 'Sound is the interface': from interactive to ecosystemic signal processing, Published online by Cambridge University Press: 21 April 2004 'Sound is the interface': from interactive to ecosystemic signal processing, Published online by Cambridge University Press: 21 April 2004 [https://www.ak.tu-berlin.de/fileadmin/a0135/Unterrichtsmaterial/Di\\_Scipio/Sound\\_is\\_the\\_interface.PDF](https://www.ak.tu-berlin.de/fileadmin/a0135/Unterrichtsmaterial/Di_Scipio/Sound_is_the_interface.PDF)
- [Orpheus Instituut - ECHO: Issue 3 - Feedback] Orpheus Instituut - ECHO: Issue 3 - Feedback, Author(s): Adam Pultz Melbye (ed.) Publication year: 31 January 2022 Orpheus Instituut - ECHO: Issue 3 - Feedback, Author(s): Adam Pultz Melbye (ed.) Publication year: 31 January 2022 <https://echo.orpheusinstituut.be/issue/3-feedback>
- [Pirkle Will] Pirkle Will Virtual Analog (VA) Filter Implementation and Comparisons, Copyright © 2013 Will Pirkle Virtual Analog (VA) Filter Implementation and Comparisons <http://www.willpirkle.com/Downloads/AN-4VirtualAnalogFilters.2.0.pdf>
- [Sanfilippo Dario, June 29th{ July 1st2021] Sanfilippo Dario, June 29th{ July 1st2021 Proceedings of the 18thSound and Music Computing Conference Constrained Differential Equations as Complex Sound Generators [https://zenodo.org/record/5040585#.Ygp8fd\\_MLDc](https://zenodo.org/record/5040585#.Ygp8fd_MLDc)
- [Sanfilippo Dario, Valle Andrea] Sanfilippo Dario, Valle Andrea Feedback Systems: An Analytical Framework, Computer Music Journal (2013) 37 (2): 12{27. Feedback Systems: An Analytical Framework, Computer Music Journal (2013) 37 (2): 12{27. <https://iris.unito.it/retrieve/handle/2318/142348/23617/Sanfilippo-Valle.pdf>
- [Song Wanqing] Song Wanqing International Journal of Pure and Applied Mathematics Volume 83 No. 1 2013, 101-110 DIFFERENCE EQUATION OF LORENZ SYSTEM. <https://www.ijpam.eu/contents/2013-83-1/9/9.pdf>
- [Yadegari Shahrokh] Yadegari Shahrokh CHAOTIC SIGNAL SYNTHESIS WITH REAL-TIME CONTROL: SOLVING DIFFERENTIAL EQUATIONS IN PD, MAX/MSP, AND JMAX, Proc. of the 6th Int. Conference on Digital Audio Effects (DAFx-03), London, UK, September 8-11, 2003 CHAOTIC SIGNAL SYNTHESIS WITH REAL-TIME CONTROL: SOLVING DIFFERENTIAL EQUATIONS IN PD, MAX/MSP, AND JMAX <http://yadegari.org/download/YadegariDAFX03.pdf>